

У С Л О В Н Ы Е О Б О З Н А Ч Е Н И Я К Г Е О Л О Г И Ч Е С К И М К А Р Т А М Д О Ч Е Т В Е Р Т И Ч Н Ы Х И Д О П А Л Е О Г Е Н О В Ы Х О Б Р А З О В А Н И Й

ВОСТОЧНО-УРАЛЬСКАЯ И ПРИУРАЛЬСКАЯ СТРУКТУРНО-ФАЦИАЛЬНЫЕ ЗОНЫ

КАМНОУГОЛЬ	НЕОГЕН	ПЛИОЦЕН верхний средний нижний	N	Образования неогена объединенные (до 40 м). Только на разрезе (показаны вне масштаба)
			N_1^{ks}	Кустанайская свита. Супесь, суглинки, бурые песчаные глины с известковыми стяжениями, линзами и прослоями песков и гравия (до 20 м)
			N_2^{zl}	Жиландинская свита. Глины красно-бурые и кирпично-красные, глиносоные, известковые, иногда с железно-марганцевыми образованиями и линзами в основании (до 30 м)
			N_3^{sv}	Светлинская свита. Глины зеленовато-серые, сверху – пестроцветные, карбонатные, с включениями глин, марганцевыми стяжениями и линзами глинистых мергелей, в основании – прослойки песков (до 35 м). Пласты глин мощностью до 4 м
			N_4^{or}	Наурузинская свита. Глины пестроцветные в нижней части, сверху – белые, каолиновые, прослойки песков и кварцевых галечников в основании (до 30 м). Чагарская свита (б). Песчаники, гравелисты с мелзистым цементом, иногда кварцевый мелкозернистый песок окисло-желтого цвета (до 8 м). Проявления цирконо-моноклиновой (с илименитом) и золотых россыпей. Строительные пески
ПАЛЕОГЕН	ОЛИГОЦЕН нижний	P_{ol}^{ur}	Ропельский ярус. Урмильбайская свита. Тонкое переслаивание темно-серых и коричневых слюдяных глин, алевролитов, песков тонко- и мелкозернистых слюдяно-кварцевых, хорошо сортированных, с расчленимым детритом (до 20 м). Проявления россыпей монацитов	
		P_{ol}^{sk}	Лютетский-баргонский ярус. Саксаульская свита. Белые и серые кварцитовидные песчаники, пески с хорошо окатанными зернами кварца. Редкие прослои гидроспидисто-каолиновых глин (до 80 м)	
ПЕРМЬ	ПРИУРАЛЬСКИЙ			

СХЕМА РЕГИОНАЛЬНОГО СТРУКТУРНО-ФАЦИАЛЬНОГО РАЙОНИРОВАНИЯ ПОДРАЗДЕЛЕНИЙ КОРЫ-НЕОГЕНА

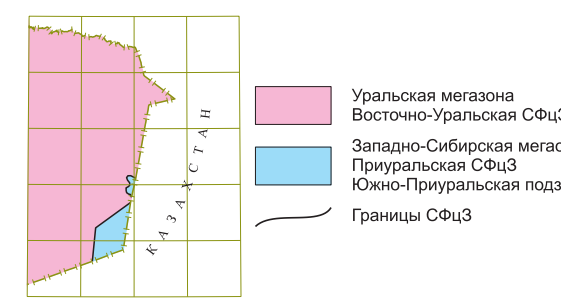
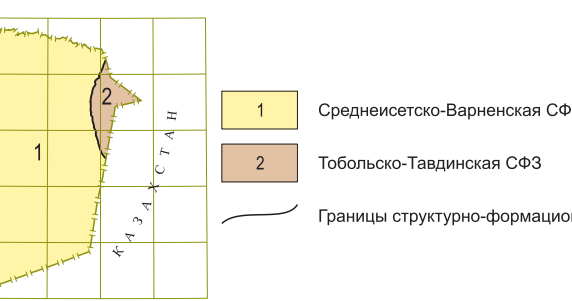


СХЕМА РЕГИОНАЛЬНОГО СТРУКТУРНО-ФОРМАЦИОННОГО РАЙОНИРОВАНИЯ ПОДРАЗДЕЛЕНИЙ ПЕРМИ-ТРИАСА



СЕДНЕИSETСКО-ВАРНЕНСКАЯ СФЗ
 Шакарский комплекс гранитовый

- γP_{d2} Вторая фаза. Граниты биотитовые
- $\gamma \delta P_{d1}$ Первая фаза. Гранодиориты

ТОБОЛЬСКО-ТАВДИНСКАЯ СФЗ

- γP_{d1} Айкенский комплекс гранит-лейкогранитовый. Граниты, нейсграниты (gr); дайки гранит-порфиров, лейкогранитов (lr); грейзены
- $\gamma \pi P_{d1}$ Граниты структурно-формационных зон

К Р А С Н О Г В А Р Д Е Й С К О - С В Е Т Л И Н С К А Я С Ф З
 Т О Б О Л Ъ С К О - К Е Н Г У С С А Й С К И Й Р А Й О Н

Б У Р У К Т А Л Ъ С К И Й Р А Й О Н

Барамбаевский комплекс диорит-плагιοгранитовый

- $\gamma \delta C_{d1}$ Четвертая фаза. Плагιοграниты, березиты
- $\gamma \delta C_{d2}$ Третья фаза. Тоналиты, гранодиориты (gr); скарны
- δC_{d2} Вторая фаза. Диориты, кварцевые диориты (qδ), диориты и кварцевые диориты нерасчлененные (δ-qδ), дайки диоритов, кварцевых диоритов (qδ)
- γC_{d1} Первая фаза. Габбро; дайки габбро

Акаргинский комплекс базальт-андезит-дацитовый

- C_{ak} Акаргинская толща. Базальты, андезиты, дациты, трахидациты, риолиты, туфы, туффыты, песчаные, алевропелиты, известняки (800-900 м)
- C_{is} Туссейская толща. Конгломераты, песчаники, алевролиты, микситы, аргиллиты, углисто-глинистые и углистые сланцы, известняки, редко прослойки базальтов, андезитов и риолитов (от 800-1400 м)
- C_{kn} Кенгуссайская толща. Метабазальты, туфосланцы, метатиффы, аполукангоновые плагιοклаз-амфиболовые, плагιοклаз-хлоритовые сланцы, прослойки эпидот-биотит-плагιοклазовых сланцев, реже углисто-кварцевых филлитов (400-1000 м)
- $D_2 - C_{a\delta}$ Ашусуйская толща. Песчаники, алевролиты, конгломераты, сланцы глинистые, углисто-глинистые, прослойки известняков, реже базальтов, андезитов (до 2500 м)

Кульковский комплекс риолит-дацит-андезитовый

- C_{kl} Кульковская толща. Риолиты, дациты, андезиты, их туфы, туффыты, прослойки песчаных, алевролитов, углисто-кремнистых сланцев (более 500 м)
- qC_{kl} Кульковские субвулканические образования. Андезиты, дациты

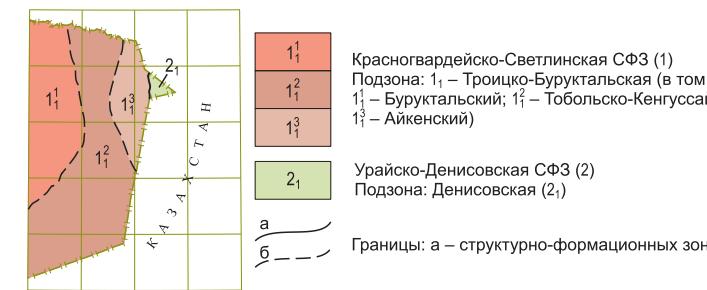
Барамбаевский комплекс диорит-плагιοгранитовый

- $\gamma \delta C_{d2}$ Третья фаза. Гранодиориты
- $q\delta C_{d2}$ Вторая фаза. Кварцевые диориты

КАРБОН

КАРБОН	РАННИЙ		
ПОЗДНИЙ	ПОЗДНИЙ	D_2^{al}	Аулетасская толща. Пестроцветные и красноцветные песчаники, алевролиты, конгломераты, гравелиты, сланцы глинистые (500-800 м)
		D_3^{ul}	Блажская толща. Сланцы глинистые, углисто-глинистые, алевролиты, песчаники, реже конгломераты, гравелиты (300-500 м)
СРЕДНИЙ	СРЕДНИЙ	D_4^{zm}	Журманковская толща. Базальты, андезит-базальты, их туфы, реже андезиты, дациты, риолиты, их туфы, вулканические конгломераты, песчаники, линзы известняков (800-1000 м)
		D_4^{kd}	Кундыбаевская толща. Сланцы углисто-кремнистые филлитизированные, графитисто-кварцевые, слюдяно-кварц-полевошпатовые, филлиты графитисто-кварцевые, метапесчаники, металевролиты (700-800 м)
РАННИЙ	РАННИЙ		
СИПУР	РАННИЙ		

СХЕМА РЕГИОНАЛЬНОГО СТРУКТУРНО-ФОРМАЦИОННОГО РАЙОНИРОВАНИЯ ПОДРАЗДЕЛЕНИЙ ПОСЛЕДНЕГО КАРБОНА



Урусикенский комплекс мондицит-граносенит-лейкогранитовый

- $qu\delta D_{ul}$ Урусикенский комплекс мондицит-граносенит-лейкогранитовый. Первая фаза. Кварцевые мондициты

Коскольский комплекс габбро-диорит-плагιοгранитовый

- $\gamma \delta D_{ks1}$ Четвертая фаза. Плагιοграниты; березиты
- $\gamma \delta D_{ks2}$ Третья фаза. Тоналиты
- δD_{ks2} Вторая фаза. Диориты, кварцевые диориты (qδ), диоритовые порфиры (δπ); дайки диоритов, кварцевых диоритов (qδ)
- γD_{ks1} Первая фаза. Габбро

Журманковский комплекс базальт-риолитовый

- γD_{zm} Журманковские субвулканические образования. Андезиты, риолиты, дациты (r), гранодиорит-порфиры (grπ); пропилиты, пропилитизированные породы

Карашовский комплекс дунит-верлит-пироксенитовый

- ΣD_{kr} Карашовский комплекс дунит-верлит-пироксенитовый. Серпентиниты алевролитовые, алевролитовые, апогироксенитовые нерасчлененные; ливаниты

Жельковский комплекс базальт-риолитовый

- D_4^{zt} Жельковская толща. Метабазальты, аполукангоновые сланцы плагιοклаз-амфиболовые, плагιοклаз-хлоритовые, реже метариодациты (800-1000 м)

Акартино-буруктальский комплекс дунит-габброитовый

- ΣD_{ab} Акартино-буруктальский комплекс дунит-габброитовый. Серпентиниты аподунитовые, апогабброитовые нерасчлененные, дуниты серпентинизированные (sr); тальциты, ливаниты (li), хлорит-тальцитовые породы (clt)

Верхняя подтолща

- S_{vr3} Верхняя подтолща. Филлиты углистые, кварцевые сланцы кварц-биотит-плагιοклазовые, биотит-кварц-плагιοклазовые, реже роговообманково-плагιοклазовые, серицит-кварцевые, углисто-кварцевые (600-700 м)

Средняя подтолща

- S_{vr2} Средняя подтолща. Плагιοклаз-амфиболовые ортосланцы, туфосланцы, реже метабазальты (250-300 м)

Нижняя подтолща

- S_{vr1} Нижняя подтолща. Сланцы кварц-плагιοклаз-биотитовые, биотит-кварц-плагιοклазовые с прослоями графит-кварцевых, биотит-кварцевых, плагιοклаз-биотит-роговообманковых (более 250 м)

Вулканические породы состава

- риолитового, плагιοриолитового: 1 – преимущественно лавы, 2 – преимущественно туфы
- риодацитового, плагιοриодацитового: преимущественно лавы
- дацитового, андезидацитового: 1 – преимущественно лавы, 2 – преимущественно туфы
- андезитового: 1 – преимущественно лавы, 2 – преимущественно туфы
- андезит-базальтового: 1 – преимущественно лавы, 2 – преимущественно туфы
- базальтового: преимущественно лавы
- Метабазальты и плагιοклаз-амфиболовые ортосланцы

Гранитизированные породы

- Контактные роговики: плагιοклаз-амфиболовые, графит-биотит-кварцевые (gr,bl,q), графит-биотит-андезитовые (gr,bl,an)
- 1. Метасоматиты: скарны, грейзены (gr), кварц-серицитовые (q,ac), кварцевые (q), березиты (br), ливаниты (li), тальциты (t), пропилиты (pr), хлоритовые (cl), хлорит-тальцовые (clt), серицитопиты (sr)
- 2. Метасоматически измененные породы: пропилитизированные, хлоритизированные (cl), серицитизированные (sr), оварцованные и серицитизированные (q,ac), оварцованные (q)
- Вторичные кварциты
- 1 – анмасштабные тела метасоматитов: грейзены, березиты (br), ливаниты (li), амзониты (am); 2 – кварцевые жилы
- Фации метаморфизма: 1 – зеленосланцевая, 2 – эпидот-амфиболитовая. Только для карты допалеогеновых образований и геологического разреза
- Кора выветривания мезозойского возраста. На геологическом разрезе вынесшабное изображение

Геологические границы:

- а – согласное залегание стратиграфических подразделений, метаморфических подразделений, теп разного состава внутри этих подразделений, интрузивные и поргнуживые контакты; а – достоверные, б – предполагаемые
- б – несогласное залегание; а – достоверные, б – предполагаемые
- между фашиально разными образованиями внутри стратиграфических и нестратиграфических образований
- эпигенетически измененных пород разного состава
- Границы эпидот-амфиболитовой метаморфической фации. Только для карты допалеогеновых образований и геологического разреза

Разрывные нарушения
 Главные (структурные швы)

- Сложной кинематики достоверные
- Надвиги достоверные
- Взбросы, направление и углы наклона их сместителей
- Сбросы, направление и углы наклона их сместителей

Прочие

- а – Неустановленной морфологии; а – достоверные, б – предполагаемые
- Сбросы достоверные
- Сдвиги правые достоверные
- Сбросо-сдвиги правые достоверные
- Надвиги достоверные
- Элементы наклонного залегания: слоистости, метаморфической полосчатости, пнейсовидности кристаллизационной сланцеватости, клявца сланцеватости
- Места находок фораминифер
- Сважины на картах. Слева – номер сважины по списку; справа в числителе – индекс короткого на забое геологического подразделения, в знаменателе – глубина, м

Периотический массив интрузивного комплекса, номер на карте и по списку

Изогипсы рельефа допалеогеновых образований основной, через 20 м. Только для карты допалеогеновых образований

Взаимоотношения геологических подразделений (в условных обозначениях и на стратиграфических колонках)

- Стратиграфические согласные
- Угловое несогласие
- Стратиграфические несогласные с разрывом
- Интрузивные секущие
- Взаимоотношения не ясны (неопределенные)